

(325) 厚鋼板へのオンライン加速冷却(OLAC)の適用

(OLACの実用化に関する研究 第1報)

日本钢管技術研福山 ○ 東田幸四郎 山崎喜崇 松本和明

福山製鉄所 長嶺多加志 平部謙二 有方和義

I. 緒 言

制御圧延後の加速冷却は機械的性質と溶接性向上効果が大きい⁽¹⁾ものの、冷却歪などの点から厚鋼板で実用化された例はまだない。当社では鋼板の冷却歪、冷却制御、均質性の観点から厚板オンライン加速冷却（以下OLACと略記する）装置と、適用鋼材の開発を進めてきた。本報告ではOLAC材の均質性、製造条件と機械的性質および船級36キロ鋼と高張力ラインパイプ原板への適用例を述べる。

II. 実験方法

OLAC設備は仕上圧延機後面に位置し、全長38m、上部はラミナーフロー下部はスプレー冷却である。供試鋼は板厚14~40mmのSi-Mn、Nb、Nb+V系であり、各種条件による制御圧延後特定の温度域を15°C/sec以内の速度で冷却しその後空冷した。

III. 結 果

① OLAC材の均質性：板厚方向の硬度分布は均一であり、むしろ二相域圧延材よりも優れる。鋼板内の引張強さの分布を図1に示すが、板巾方向長手方向の各位置において強度変化は2kg/mm²内と良好な均一性を示す。

② OLAC材の機械的性質：強度を支配する要因は化学成分のほかにスラブ加熱温度、冷却開始温度（=圧延終了温度）冷却停止温度および冷却速度である。図2に圧延終了温度の影響を示すが、温度の上昇とともに圧延まゝでは強度が低下するのに対し、OLAC材では強度が上昇し加速冷却効果が大きくなる。韌性はOLAC前の制御圧延条件で定まり、冷却停止温度、冷却速度の影響は小さい。

③ OLACの適用例を表1に示す。E級36キロ鋼はSi-Mn系で0.36%以下の低い炭素当量でも製造可能であり、従来の焼準処理材と比較して溶接性向上効果が大きい。ラインパイプも低炭素当量で高強度高韌性素材が製造できる。またAr₃変態点以上で圧延を完了するOLAC材はバンド組織の抑制とあいまって、シャルピー、DWT破面にはセパレーションがほとんど発生しない。

参考文献：(1) 松本、大北、大内；鉄と鋼、64(1979) A181

表1. OLACを適用した厚鋼板の製造例 (C.E. * WES式、**Lloyd式)

| 区分 | 規格 | 板厚 mm | C | Si | Mn | Nb | V | C.E. | 方向 | YS kg/mm ² | TS kg/mm ² | vE ₋₄₀ kg-m | vTs °C | SI _{max} 1/mm | 85% SAT _T °C |
|-------|-----|----------|------|------|------|------|------|--------|----|--------------------------|--------------------------|---------------------------|-----------|---------------------------|-------------------------------|
| 船級 | E | 25 | 0.13 | 0.26 | 1.12 | — | — | 0.33* | L | 36.9 | 50.3 | 29.4 | -71 | 0 | n.d. |
| 36キロ鋼 | E | 25 | 0.13 | 0.34 | 1.31 | — | — | 0.36* | L | 40.4 | 53.6 | 20.3 | -68 | 0 | n.d. |
| ライ | X65 | 20 | 0.12 | 0.28 | 1.37 | 0.03 | — | 0.35** | C | 47.7 | 58.3 | 9.3 | -86 | 0.02 | -41 |
| パイ | X70 | 20 | 0.10 | 0.28 | 1.60 | 0.03 | 0.08 | 0.38** | C | 52.8 | 63.8 | 15.5 | -73 | 0.02 | -30 |

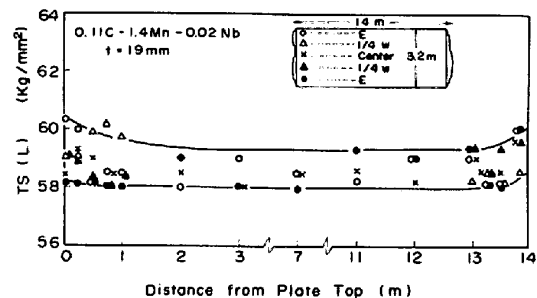


図1. OLAC材の鋼板内強度分布

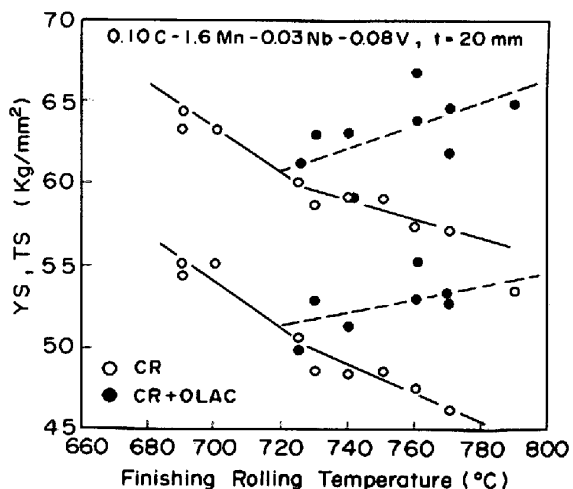


図2. 圧延終了温度と強度の関係